





ИЗДАТЕЛЬСТВО
«СОВЕТСКАЯ ЭНЦИКЛОПЕДИЯ»

ЭНЦИКЛОПЕДИИ
СЛОВАРИ
СПРАВОЧНИКИ

НАУЧНЫЙ СОВЕТ ИЗДАТЕЛЬСТВА

А. П. АЛЕКСАНДРОВ, [А. А. АРЗУМАНЯН], А. В. АРЦИХОВСКИЙ,
Н. В. БАРАНОВ, А. А. БЛАГОНРАВОВ, Н. Н. БОГОЛЮБОВ,
Б. А. ВВЕДЕНСКИЙ (председатель Научного совета), Б. М. ВУЛ,
Г. Н. ГОЛИКОВ, И. Л. КНУНЯНЦ, Ф. В. КОНСТАНТИНОВ,
Б. В. КУКАРКИН, Ф. Н. ПЕТРОВ, В. М. ПОЛЕВОЙ, А. И. РЕВИН
(заместитель председателя Научного совета), [Н. М. СИСАКЯН],
А. А. СУРКОВ, Л. С. ШАУМЯН (заместитель председателя Научного
совета)

ФИЗИЧЕСКИЙ ЭНЦИКЛОПЕДИЧЕСКИЙ СЛОВАРЬ

ГЛАВНАЯ РЕДАКЦИЯ

А. М. БАЛДИН, Б. А. ВВЕДЕНСКИЙ (главный редактор), С. В. ВОНСОВСКИЙ,
Б. М. ВУЛ (главный редактор), М. Д. ГАЛАНИН, Д. В. ЗЕРНОВ, А. Ю. ИШЛИН-
СКИЙ, П. Л. КАПИЦА, Н. А. КАПЦОВ, М. С. КОЗОДАЕВ, В. Г. ЛЕВИЧ,
Л. Г. ЛОЙЦЯНСКИЙ, С. Ю. ЛУКЬЯНОВ, В. И. МАЛЫШЕВ, В. В. МИГУЛИН,
П. А. РЕБИНДЕР, Я. К. СЫРКИН, С. М. ТАРГ, С. В. ТЯБЛИКОВ, Е. Л. ФЕЙН-
БЕРГ, С. Э. ХАЙКИН, Р. Я. ШТЕЙНМАН (заместитель главного редактора),
А. В. ШУБНИКОВ



ТОМ ПЯТЫЙ

Спектр — Яркость

ИЗДАТЕЛЬСТВО «СОВЕТСКАЯ ЭНЦИКЛОПЕДИЯ»

РЕДАКЦИЯ ФИЗИЧЕСКОГО ЭНЦИКЛОПЕДИЧЕСКОГО СЛОВАРЯ

РЕДАКТОРЫ ОТДЕЛОВ И ПОДОТДЕЛОВ

Механика. Члены редакционной коллегии: А. Ю. ИШЛИНСКИЙ (теория упругости и пластичности), Л. Г. ЛОЙЦАНСКИЙ (гидроаэромеханика), С. М. ТАРГ (теоретическая механика). Научный редактор И. Б. НАЙДЕНОВА.

Электричество и магнетизм. Члены редакционной коллегии: С. В. ВОНСОВСКИЙ (физика магнитных явлений), Б. М. ВУЛ (общие вопросы электричества, диэлектрики), Д. В. ЗЕРНОВ (электронные и ионные приборы), С. Ю. ЛУКЬЯНОВ (электроника). Редактор-консультант Л. А. ЖЕКУЛИН (электротехника). Научные редакторы: С. М. ШАПИРО (общие вопросы электричества, электротехника, электронные и ионные приборы), Ю. Н. ДРОЖЖИН (магнетизм, электрические измерения), М. Н. ФЛЕРОВА (диэлектрики).

Полупроводники и полупроводниковые приборы. Член редакционной коллегии Б. М. ВУЛ. Научный редактор С. М. ШАПИРО.

Теория колебаний. Член редакционной коллегии С. Э. ХАЙКИН. Научный редактор И. Б. НАЙДЕНОВА.

Акустика. Редактор-консультант И. П. ГОЛЯМИНА. Научный редактор И. Б. НАЙДЕНОВА.

Радиофизика, радиоастрономия и радиотехника. Члены редакционной коллегии: Б. А. ВВЕДЕНСКИЙ, В. В. МИГУЛИН, С. Э. ХАЙКИН. Научный редактор С. М. ШАПИРО.

Автоматическое регулирование и управление. Редактор-консультант М. А. АЙЗЕРМАН. Научный редактор Н. Г. СЕМАШКО.

Оптика. Члены редакционной коллегии: М. Д. ГАЛАНИН (физическая оптика), В. И. МАЛЫШЕВ (прикладная оптика). Редакторы-консультанты: Ю. Н. ГОРОХОВСКИЙ (фотография), Н. Д. НЮБЕРГ (физиологическая оптика), Г. Г. СЛЮСАРЕВ (геометрическая оптика). Научные редакторы: С. А. КОРДЮКОВА (молекулярная оптика, спектроскопия, фотография, физиологическая оптика), И. Б. НАЙДЕНОВА (геометрическая оптика, оптические приборы), Ю. Н. ДРОЖЖИН (волновая оптика, оптические приборы).

Атомная и ядерная физика. Члены редакционной коллегии: А. М. БАЛДИН (физика элементарных частиц), М. С. КОЗОДАЕВ (ядерная физика), С. Ю. ЛУКЬЯНОВ (атомная физика). Редакторы-консультанты: М. А. ЕЛЬЯШЕВИЧ (атомная физика), М. С. РАВИНОВИЧ (ускорители). Научные редакторы: Н. Г. СЕМАШКО (физика элементарных частиц, ускорители, теоретическая ядерная физика), М. Н. ФЛЕРОВА (ядерная физика).

Молекулярная физика. Члены редакционной коллегии: П. А. РЕБИНДЕР (общие вопросы, газы, жидкости, поверхностные явления), А. В. ШУБНИКОВ (кристаллография). Редакторы-консультанты: М. В. ВОЛЬКЕНШТЕЙН (полимеры), Б. Я. ЛЮБОВ (металлофизика). Научные редакторы: Ю. Н. ДРОЖЖИН (общие вопросы, газы, жидкости, фазовые превращения, поверхностные явления), С. А. КОРДЮКОВА (полимеры), И. Б. НАЙДЕНОВА (физика кристаллов).

Физика плазмы. Редактор-консультант Л. А. АРЦИМОВИЧ, научный редактор М. Н. ФЛЕРОВА.

Физика низких температур. Член редакционной коллегии П. Л. КАПИЦА. Редактор-консультант И. М. ХАЛАТНИКОВ. Научный редактор С. А. КОРДЮКОВА.

Вакуумная техника. Редактор-консультант И. С. РАБИНОВИЧ. Научный редактор С. М. ШАПИРО.

Теоретическая физика. Члены редакционной коллегии: С. В. ТЯВЛИКОВ (статистическая физика), Е. Л. ФЕЙНЕБРГ (квантовая механика, теория поля, теория относительности). Редактор-консультант И. М. ЛИФШИЦ (физика твердого тела). Научные редакторы Н. Г. СЕМАШКО, С. М. ШАПИРО (физика твердого тела).

Химия. Член редакционной коллегии Я. К. СЫРКИН. Научный редактор С. А. КОРДЮКОВА.

Геофизика. Научные редакторы: Н. П. ЕРПЫЛЕВ (физика Земли, атмосферная оптика и электромагнитное излучение), И. Б. НАЙДЕНОВА (физика атмосферы и гидросферы).

Астрономия. Редактор-консультант Б. В. КУКАРКИН. Научный редактор Н. П. ЕРПЫЛЕВ.

Биофизика. Редактор-консультант Г. М. ФРАНК. Научный редактор С. А. КОРДЮКОВА.

Математика. Научный редактор В. И. БИТЮЦКОВ.

Метрология. Редактор-консультант Г. Д. БУРДУН. Научный редактор Ю. Н. ДРОЖЖИН. Научно-контрольный редактор П. В. СЫСОЕВ.

Редактор словаря В. В. ТАБЕНСКИЙ.

Отдел комплектования — А. И. БАРАНЧИКОВА.

Литературный редактор Н. М. КАРАКАШ; младшие редакторы — С. М. ВАЩИНСКАЯ, З. А. КОСАРЕВА, А. А. СИЛАЕВА; редактор по иллюстрациям В. А. АЛЕКСЕЕВ; редакция библиографии — Е. И. ЖАРОВА; корректорская — М. В. АКИМОВА, Ю. А. ГОРЬКОВ, А. В. МАСЛОВА, Л. В. ПИТАЛЕВА, Л. Н. СОКОЛОВА; технический редактор В. А. ГРИГОРЬЕВА.

Физический энциклопедический словарь. Гл. ред.: Б. А. Введенский, Б. М. Вул, М., «Советская Энциклопедия», 1966
(Энциклопедии. Словари. Справочники).

Т. 5. Спектр — Яркость. 1966. 576 с. с илл., 3 л. табл.

Сдано в набор 29 мая 1965 г. Том подписан к печати 28 марта 1966 г.

Издательство «Советская Энциклопедия», Москва, №-28, Покровский бульвар, д. 8.

Т-04728. Тираж 55 тыс. экз. Заказ № 1750. Формат 82 × 108^{1/16}. Объем 36 физич. п. л., 59,04 усл. п. л. текста + 0,62 усл. п. л. вклейк. Всего 59,66 усл. п. л. Уч.-изд. л. 101,61. Цена 1 экз. книги 3 р. 50 к.

Печать с матриц, изготовленных в Ленинградской типографии № 1 «Печатный Двор» имени А. М. Горького.

Московская типография № 2 «Главполиграфпрома» Комитета по печати при Совете Министров СССР.
Москва, Проспект Мира, 105. Заказ № 930.

C

СПЕКТР акустический — характеристика звука, выражающая его частотный (спектральный) состав и получаемая в результате анализа звука. В зависимости от сложности звука С. могут быть линейчатыми (в случае чистого тона или периодич. звука с определенным *тембром*), сплошными (в случае шумов) или комбинированными, т. е. содержащими и сплошные участки и наложенные на них спектральные линии. Комбинированные С. наблюдаются у *музыкальных инструментов*, звуки к-рых могут иметь шумовую окраску; напр., в звуке рояля, особенно в верхних регистрах, появляются шумовые компоненты из-за несовершенства клавишной механики. С. звуков *речи* содержат форманты — области устойчивых составляющих, соответствующие определенным фонетич. элементам. Форманты присутствуют также в С. музык. инструментов (скрипки и др.).

И. Г. Русаков.

СПЕКТР колебаний — совокупность простых гармонич. колебаний, на к-рые может быть разложено данное сложное колебат. движение. Вообще всякую периодическую, но негармонич. ф-цию $f(t)$ с частотой ω можно разложить в С., т. е. представить в виде ряда гармонич. ф-ций: $f(t) = \sum_{n=0}^{\infty} C_n \cos n\omega t$ с частотами $n\omega$ (где n — номер гармоники), кратными основной частоте. Чем сильнее разлагаемая ф-ция отличается от гармонической, тем богаче ее С., тем больше обертонов содержится в разложении и тем больше амплитуды этих обертонов. В общем случае С. периодической ф-ции содержит бесконечный ряд гармонич. обертонов, амплитуды к-рых убывают с увеличением номера обертона и при этом довольно быстро, так что практически приходится принимать во внимание наличие только нек-рого конечного числа обертонов.

СПЕКТР ЗВУКА — см. *Спектр акустический*.

СПЕКТР ОПЕРАТОРА — обобщение понятия совокупности *собственных значений* матрицы. Движение систем с n степенями свободы можно представить в окрестности положения устойчивого равновесия как наложение n гармонич. колебаний (т. н. нормальных колебаний) с определенными частотами (собственными частотами), что сводится к нахождению *собственных векторов* x_k и собственных значений λ_k нек-рой матрицы A . Всякое линейное преобразование A с симметрич. матрицей (т. н. самосопряженное преобразование) в n -мерном пространстве может быть

представлено в виде $\sum_{k=1}^n \lambda_k E_k$, где E_k — оператор проек-

тирования на x_k . Иначе говоря, самосопряженное линейное преобразование сводится к растяжению по n взаимно-перпендикулярным направлениям (составным направлениям) с коэффициентом растяжения $|\lambda_k|$ (если $\lambda_k < 0$, то растяжение с коэффициентом

$|\lambda_k|$ сопровождается отражением в плоскости, перпендикулярной вектору x_k). В теории колебаний значения λ_k равны квадратам частот главных колебаний системы. Совокупность значений λ_k наз. спектром матрицы A , а разложение $A = \sum_{k=1}^n \lambda_k E_k$ — ее спектральным разложением.

Задачу о разложении колебаний на простейшие естественно перенести с систем, имеющих конечное число степеней свободы, на случай колебания континуумов, напр. струны. Такой переход приводит к необходимости обобщить задачу о нахождении собственных векторов и собственных значений линейного преобразования на нек-рый класс линейных *операторов* в гильбертовом пространстве. В частности, для случая колебания струны соответствующий оператор имеет вид

$$g(x) = Tf = \int_a^b K(x, y) f(y) dy.$$

Оператор

$$Tf = \int_a^b K(x, y) f(y) dy$$

(интегральный оператор), где $K(x, y)$ — непрерывная в квадрате $a \leq x, y \leq b$ функция, удовлетворяющая условию симметрии $K(x, y) = K(y, x)$, имеет полную ортогональную систему *собственных функций* φ_i . Если рассматривать функции, на к-рые действует оператор T , как векторы гильбертова пространства, то геометрич. картина действия оператора T такова же, как и в конечномерном случае, и сам оператор T снова можно представить в виде $T = \sum_{k=1}^{\infty} \lambda_k E_k$. Совокупность его собственных значений λ_k и в этом случае наз. спектром.

Спектральный анализ, развитый первоначально для интегральных операторов с ядром $K(x, y)$, определенным и непрерывным в нек-рой ограниченной области, затем был распространен на линейные операторы других типов, напр. интегральные операторы с ядром, имеющим особенность или заданным в неограниченной области, дифференциальные операторы и т. д. Okазалось, однако, что переход к таким операторам приводит к существенным осложнениям, т. к. для них собственные значения и собственные функции, понимаемые в обычном смысле, могут вообще не существовать. Поэтому для них спектр должен быть определен не как совокупность собственных значений, а как совокупность тех значений λ , для к-рых оператор $(A - \lambda E)^{-1}$ не существует или является неограниченным оператором. Все собственные значения оператора принадлежат спектру, их совокупность образует дискретный спектр, остальную часть спектра наз.

непрерывным спектром. Возможность существования непрерывного спектра является характерной чертой линейных операторов общего вида в бесконечномерном пространстве. Конечномерные линейные преобразования и интегральные операторы без особенностей не имеют непрерывного спектра.

Спектральный анализ операторов, в первую очередь самосопряженных, находит многочисленные применения в теории колебаний, теории стационарных случайных процессов, квантовой механике, дифференциальных и интегральных уравнениях, теории специальных функций и др. областях математики и математической физики.

Лит.: 1) Ахиезер Н. И., Глазман И. М., Теория линейных операторов в гильбертовом пространстве, М.—Л., 1950; 2) Смирнов В. И., Курс высшей математики, т. 5, М., 1960.

СПЕКТРАЛЬНАЯ АППАРАТУРА РЕНТГЕНОВСКАЯ — служит для получения рентгеновских лучей, разложения их в спектр и измерения интенсивностей отдельных линий характеристич. излучения или узких участков непрерывного спектра. С. а. р. применяется для спектрального анализа рентгеновского и для исследования рентгеновских спектров (см. *Спектроскопия рентгеновская*); в первом случае С. а. р. должна дать высокую интенсивность спектров, обычно связанную с ограниченной разрешающей способностью, а во втором — высокую разрешающую способность, как правило, связанную с небольшой интенсивностью спектра. По своему устройству С. а. р. может быть: а) дисперсионной — с плоским или изогнутым кристаллом-анализатором и б) недисперсионной — с выделением нужного узкого участка спектра сцинтиляционным счетчиком или пропорциональным счетчиком с амплитудным анализатором импульсов. По способу регистрации излучения дисперсионная С. а. р. подразделяется на спектрографы с фотoreгистрацией (применимые в основном для исследования спектров) и спектрометры с регистрацией детекторами рентгеновских квантов (см. *Детекторы гаммаизлучений*). Спектрографы все больше вытесняются спектрометрами. По способу возбуждения излучения С. а. р. предназначаются либо для первичных спектров (в основном при исследовании спектров поглощения и при абсорбционном анализе), либо для флуоресцентных (при исследованиях спектров испускания и при эмиссионном анализе). По области спектра С. а. р. делятся на коротковолновые (до 2 Å), работающие на воздухе, длинноволновые (1,5—20 Å), работающие в вакууме или гелиевой атмосфере, и ультрадлинноволновые (до 300—400 Å).

Аналитаторы рентгеновского излучения [1,2] служат для его разложения в спектр. В коротковолновой и длинноволновой областях применяются кристаллы-анализаторы (см. табл.), а в ультрадлинноволновой — вогнутые дифракционные решетки с числом штрихов на мм от 500 до 1200. Для исследования спектров применяют кристаллы кварца, кальция, гипса, слюды; для рентгеноспектрального анализа чаще всего используют кристаллы фтористого лития, ADP, EDDT, слюды.

Фокусирующая С. а. р. [1,3] применяется в коротковолновой области спектра по методам Кошуа и Дю-Монда при прохождении рентгеновского излучения через кристалл, а в длинноволновой — по методам Иоганна и Иоганссона (рис. 1). В первых трех из этих методов плоская кристаллическая пластинка изгибаются по цилиндрической поверхности радиуса R .

Кристаллы-анализаторы.

| Кристалл | Индекс hkl | $d, \text{ \AA}$ | Кристалл | Индекс hkl | $d, \text{ \AA}$ |
|--------------|--------------|------------------|---------------|--------------|------------------|
| Кварц | (13̄0) | 1,1776 | Si | (111) | 3,1333 |
| | (11̄20) | 2,4514 | | | |
| | (1011) | 3,3363 | Каменная соль | (200) | 2,8140 |
| | (1010) | 4,2460 | | | |
| Кальцит | (211) | 3,0294 | LiF | (200) | 2,009 |
| Топаз | (303) | 1,3528 | ADP * | (200) | 3,753 |
| | (200) | 2,3198 | | (110) | 5,308 |
| | (002) | 4,1870 | EDDT ** | (020) | 4,395 |
| Флюорит | (022) | 1,927 | Гипс | (020) | 7,5847 |
| | (111) | 3,145 | | | |
| Ge | (111) | 3,2664 | Мусковит | (001) | 9,9427 |
| Пентаэритрит | (002) | 4,358 | КАР *** | (100) | 13,2 |

* $\text{N}_4\text{H}_2\text{PO}_4$. ** $\text{C}_6\text{H}_{14}\text{N}_2\text{O}_2$. *** $\text{KHC}_8\text{H}_4\text{O}_4$.

а щель располагается на фокальной окружности радиуса $r = \frac{R}{2}$; эти методы дают лишь прибл. фокусировку спектра, хотя и довольно острой.

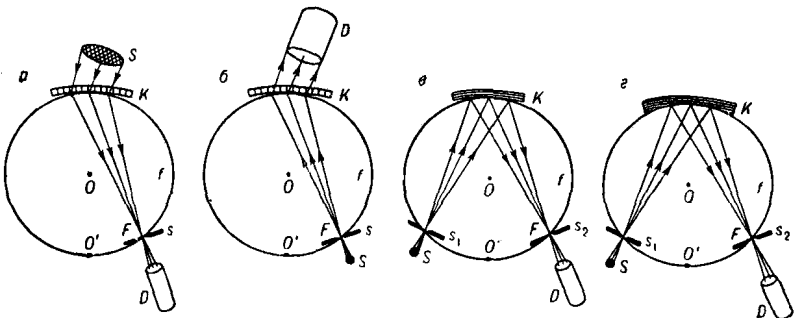


Рис. 1. Геометрия фокусирующей рентгеновской спектральной аппаратуры: а) метод Кошуа, б) метод Дю-Монда, в) метод Иоганна, г) метод Иоганссона; S — источник излучения, s — щель, K — кристалл-анализатор, O' — центр окружности, по которой изогнут кристалл, F — фокус для лучей одной длины волны, f — фокальная окружность, O — ее центр, D — детектор. Штриховка кристалла показывает направление отражающих атомных «плоскостей».

В методе Иоганссона после предварительного изгиба пластинки кристалла по радиусу R ее шлифуют по цилиндрической поверхности радиуса $r = \frac{R}{2}$, что обеспечивает точную фокусировку спектра на фокальную окружность.

С. а. р. с плоским кристаллом [1,3] применяется по методу Соллерера (рис. 2) только для рентгеноспектрального анализа, поскольку обладает ограниченной разрешающей способностью. Спектрограф Зигбана с плоским кристаллом, входной щелью (или лезвием, подведенным почти вплотную к кристаллу) и фотoreгистрацией имеет малую светосилу, вследствие чего он вышел из употребления.

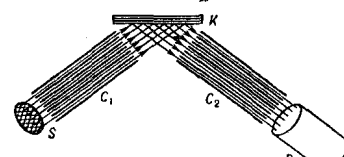


Рис. 2. Геометрия рентгеновского спектрометра с плоским кристаллом по Соллереру. S — источник излучения, K — кристалл-анализатор, D — детектор, C_1 и C_2 — многопластинчатые коллиматоры.

Двукристальный спектрометр [2]. При последовательной дифракции рентгеновских лучей от двух кристаллов в одном порядке отражения могут быть 2 случая (рис. 3): дисперсия (см. Дисперсия спектрального прибора) либо удваивается по сравнению с дифракцией от одного кристалла (антипараллельное положение), либо равна нулю (параллельное положение). В последнем случае может быть непосредственно исследована разрешающая способность этого прибора, к-рая затем может слу-

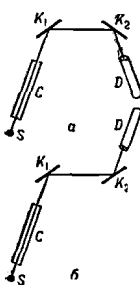


Рис. 3. Геометрия двукристального спектрометра: а) антипараллельное положение, б) параллельное положение, S — источник излучения, C — коллиматор, K_1 , K_2 — кристаллы, D — детектор.

жить для исправления формы спектров, зарегистрированных в антипараллельном положении. Это позволяет найти истинную форму спектров.

Недисперсионная С. а. р. [1, 4], служащая для абсорбционного анализа с использованием интегрального излучения рентгеновской трубы, выпускается в виде рентгеновских фотометров различных конструкций. Они применяются чаще всего для определения содержания примеси тяжелого элемента в растворе. Излучение рентгеновской трубы диафрагмируется, проходит через сосуд с раствором и регистрируется детектором. В фотометрах более сложной конструкции для выделения сравнительно узких участков спектра дополнительно применяется несколько пар сбалансированных фильтров с одинаковым коэффи. пропускания во всех областях спектра, за исключением узкой области между краями поглощения элементов, из к-рых сделаны фильтры каждой пары. Такой фотометр с радиоактивным изотопом в качестве источника первичного излучения (вместо рентгеновской трубы) применяется для флуоресцентного и абсорбционного рентгенорадиометрич. анализа [5]. Недисперсионная С. а. р. с пропорциональным или сцинтилляционным счетчиком в качестве детектора и амплитудным анализатором импульсов применяется для рентгеноспектрального анализа в качестве спектрометров очень высокой светосилы, хотя и с плохой разрешающей способностью.

Рентгеновские датчики состава — С. а. р. с фиксированной настройкой на аналитич. линию определенного элемента — применяются для рентгеноспектрального анализа на промышленных предприятиях. Они бывают: а) одноканальные (для определения одного элемента) с монитором — вторым спектральным каналом, детектор к-рого регистрирует контрольный луч и служит для автоматич. учета возможных изменений интенсивности излучения рентгеновской трубы; б) с парным каналом (для определения одного элемента), в к-ром аналитич. линия регистрируется одним детектором периодически — поочередно от анализируемого и контрольного образцов, что позволяет автоматически учесть не только колебания интенсивности излучения рентгеновской трубы, но и возможную нестабильность детектора и установки, служащей для его питания и усиления импульсов; в) квантометры — многоканальные спектрометры (для одновременного определения нескольких элементов), в к-рых применяют от 8 до 22 каналов дисперсионного или недисперсионного типа.

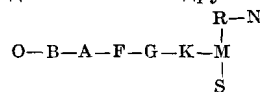
Рентгеновские спектрометры [1, 3, 6], обеспечивающие возможность сканирования вдоль спектра, выпускают разных типов: а) простые, одноканальные с монитором или парным каналом, и двухканальные, — как прецизионные для исследования спектров, так и светосильные для аналитич.

целей; б) двухканальные с программированием хода сканирования, обеспечивающим автоматич. остановку спектрометра на 12—24 аналитич. линиях, заданную выдержку на каждой из них и другие требуемые параметры электронной регистрирующей установки, а также печатание числа импульсов, зарегистрированных на каждой линии; эти спектрометры позволяют автоматически провести анализ последовательно на 12—24 элемента; в) квантометры (см. выше), в к-рых каждый канал может быть вручную настроен на любой из неск. десятков элементов, после чего количеств. анализ может быть проведен одновременно на выбранные 8—22 элемента; г) микроанализаторы, в к-рых источник первичного рентгеновского излучения состоит из эмиссионной пушки с очень острой фокусировкой катодного пучка магнитными линзами (см. Электронные линзы); это обеспечивает возбуждение рентгеновских лучей исследуемого образца на участке линейными размерами 1—2 μ . Микроанализаторы позволяют либо сканировать вдоль спектра в выбранной точке образца, либо для выбранной точки спектра сканировать вдоль одного направления образца. Нек-рые микроанализаторы позволяют получить на экране кинескопа увеличенное изображение квадратного участка поверхности образца (линейными размерами 400—450 μ) в монохроматич. лучах определенной линии спектра; это дает возможность изучать распределение отдельного элемента по поверхности образца.

Лит.: 1) Блохин М. А., Методы рентгено спектральных исследований, М., 1959; 2) его же, Физика рентгеновских лучей, 2 изд., М., 1957; 3) Вайнштейн Э. Е., Светосильная аппаратура для рентгеноспектрального анализа, М., 1957; 4) Либхаски Х. А. [и др.], Применение поглощения и испускания рентгеновских лучей, пер. с англ., М., 1964; 5) Яубович А. Л., Ускоренный анализ минерального сырья с применением сцинтилляционной аппаратуры, М., 1963; 6) Сумбаев О. И., Кристалл-дифракционные гамма-спектрометры, М., 1963; Боровский И. Б., Физические основы рентгеноспектральных исследований, М., 1956. М. А. Блохин.

СПЕКТРАЛЬНЫЕ КЛАССЫ ЗВЕЗД — классы звезд, установленные по особенностям их спектров. Большинство звезд обладает непрерывным спектром, на к-рый налагаются темные линии поглощения; у нек-рых типов звезд в спектре видны также и яркие линии (по-видимому, возникающие в оболочках звезд). Различия в спектрах звезд обусловливаются различием в физ. свойствах их атмосфер, в основном темп-ры и давления (определяющих степень ионизации атомов). Вид спектра зависит также от наличия магн. и электрич. полей, различий в хим. составе, вращения звезд и др. Общепринята гарвардская спектр. классификация звездных спектров, основанная на оценках относит. интенсивности и вида спектр. линий, а не на распределении энергии в непрерывном спектре, т. к. последнее может сильно искажаться поглощением межзвездного газа.

Основные спектр. классы с десятичными подразделениями между ними (обознач. цифрами после буквенно-го обознач. класса) образуют непрерывную последовательность от 0 до M с ответвлением с одной стороны к звездам R—N и с другой к S:



В спектрах классов O и B наблюдаются как линии поглощения, так и линии излучения: у класса O линии: H α , HeI, HeII, OIII, NIII, CIII; у класса B линии: H α , HeI, CII, NII, OII, FeIII, MII. Линии водорода достигают макс. интенсивности в классе A, где линии HeI исчезают. Далее у членов последовательности линии водорода слабеют, а линии металлов усиливаются. У звезд класса G выделяются линии H и K ионизован-

СПЕКТРАЛЬНЫЕ ЛИНИИ — СПЕКТРАЛЬНЫЕ ПРЕДСТАВЛЕНИЯ

ного кальция, «полоса G» (наложение атомных линий и молекулярных полос). У звезд класса M преобладают полосы окиси титана. Спектры звезд R — N содержат сильные полосы соединений углерода, а S — циркония.

Спектр. последовательность одновременно является и цветовой: звезды O — B — голубые, A — F — белые, G — желтые, K — оранжевые, M, R, N, S — красные. Темп-ра поверхности звезд вдоль последовательности меняется от 30 000°(O) до 3 000°(M); у горячих голубых и белых звезд максимум интенсивности непрерывного спектра находится в ультрафиолетовой части спектра. Показатели цвета звезд в зависимости от спектр. класса и темп-ры приведены в табл. 2 ст. *Звезды*.

По мере перехода от холодных звезд к горячим линии нейтральных элементов ослабевают и заменяются линиями ионизованных. Т. к. при неизменной темп-ре интенсивность линии поглощения возрастает с уменьшением давления, существует различие в спектрах звезд с плотными атмосферами (звезды-карлики) и протяженными разреженными атмосферами (звезды-гиганты и сверхгиганты). Добавочными индексами, стоящими перед обозначением спектра — *d* (карлик), *g* (гигант), *c* (сверхгигант), характеризуется тип звезд, обладающий данным спектром, напр. *dG2* (Солнце). Пользуются также следующими характеристиками спектров: *n* — линии широки и размыты, *s* — линии узки и резки, *e* — имеются яркие линии, *r* — имеются неправильности. Эти индексы ставятся после обозначения спектра. Согласно более совр. Йеркской классификации, спектру звезд одновременно приписываются гарвардский спектр. класс и класс светимости (*I* — сверхгиганты, *II* — яркие гиганты, *III* — гиганты, *IV* — субгиганты, *V* — карлики, т. е. звезды главной последовательности). Характеристики *I* — *IV* позволяют определять расстояние до звезд по их спектрам и видимым звездным величинам (т. н. спектр. параллаксы).

Лит.: 1) М. устель. Э. Р., Звездные атмосфера, М., 1960; 2) Ун皂ольд Л., Физика звездных атмосфер, пер. с нем., М., 1949.

А. Г. Масевич.

СПЕКТРАЛЬНЫЕ ЛИНИИ — узкие, почти монохроматич. участки в спектрах излучения или поглощения вещества, положение к-рых приближенно может быть охарактеризовано одной частотой. В обычных условиях отношение ширины С. л. к частоте $\Delta\nu/\nu \sim 10^{-3} - 10^{-8}$. Спец. способами (эффект Мёссбауэра, методы квантовой радиофизики и др.) можно получать очень узкие С. л.: $\Delta\nu/\nu \sim 10^{-15}$. Наблюдаемая ширина С. л. определяется также свойствами спектрального прибора. См. *Монохроматический свет, Ширина спектральных линий*.

СПЕКТРАЛЬНЫЕ ПРЕДСТАВЛЕНИЯ матричных элементов матрицы рассеяния *S* или *Грина функций полей* (в квантовой теории поля) — интегральные представления типа Коши интеграла. С. п. играют большую роль в аксиоматич. подходе к квантовой теории поля, в рамках к-рого построение матрицы рассеяния осуществляется без конкретных предположений о взаимодействии, присущих гамильтонову формализму. Особенно важны С. п., к-рые удается получить на основе только самых общих положений квантовой теории поля, таких как требования микропричинности, унитарности, релятивистской инвариантности и предположения о спектре масс. Так, напр., для ф-ции Грина *G(x — y)* ур-ния скалярного поля $\phi(x)$ частиц массы *m*

$$\begin{aligned} G(x - y) &= i \langle 0 | T(\phi(x) S \phi(y)) | 0 \rangle = \\ &= (2\pi)^{-4} \int e^{ip(x-y)} \tilde{G}(p) d^4 p \end{aligned} \quad (1)$$

(*S* — матрица рассеяния, *T* — символ хронологич. упорядочивания) установлено на этой основе важное

С. п. Лемана — Челлена (Lehmann, Källen):

$$\tilde{G}(p) = \frac{1}{m^2 - p^2 - ie} + \int_{4m^2}^{\infty} \frac{I(z) dz}{z - p^2 - ie}. \quad (2)$$

Здесь *I(z)* — неотрицат. ф-ция, описывающая распределение масс возможных состояний поля, — спектральная плотность масс, к-рая выражается через матричные элементы *S*-матрицы.

В общем случае вся информация о взаимодействии частиц содержится в матричных элементах *S*-матрицы, относящихся к переходу из состояния *i* невзаимодействующих начальных частиц в состояние *f* невзаимодействующих конечных частиц с 4-импульсами *p_i*, ..., *p_i* и *p_{f+1}*, ..., *p_f*. Приняв во внимание закон сохранения 4-импульса (и др. следствия релятивистской инвариантности), такой матричный элемент можно записать в виде:

$$\langle f | S | i \rangle = \delta_{fi} - 2\pi i \delta^4 \left(\sum_i p_k - \sum_j p_k \right) \prod_{(i)} (2E_k)^{-1/2} T_{fi},$$

где амплитуда *T_{fi}* перехода *i* → *f* — скалярная ф-ция 4-импульсов *p_k* и поляризаций *λ_k* начальных и конечных частиц. Зависимость *T_{fi}* от поляризаций можно полностью выделить, представив *T_{fi}* в виде суммы членов вида *A_{fi}(p_k, λ_k) · M_{fi}(p_k)*, причем *A_{fi}* — определенные матричные элементы лоренци-инвариантных комбинаций, составленных из спиновых операторов. С. п. строится для скалярных ф-ций *M_{fi}*, называемых инвариантными амплитудами перехода *i* → *f*. Зависимость *M_{fi}* от своих аргументов носит динамич. характер, и ее существенные черты отражаются в аналитич. свойствах *M_{fi}*. В частном случае, когда и в начальном и в конечном состояниях имеется по одной частице, *M_{fi}* ≡ *M₁₁* связана с ф-цией Грина в (2) соотношениями:

$$\tilde{G}(p) = (m^2 - p^2 - ie)^{-1} + (m^2 - p^2 - ie)^{-2} M_{11}(p^2),$$

$$I(p^2) = (p^2 - m^2)^{-2} \operatorname{Im} M_{11}(p^2).$$

Ряд существенных сведений об аналитич. структуре *M_{fi}* может быть получен из общих положений квантовой теории поля, не зависящих от конкретной модели взаимодействия.

Прежде всего использование микропричинности и нек-рых предположений о свойствах спектра масс приводит к утверждению, что всякая инвариантная амплитуда является нек-рым граничным значением аналитич. ф-ций, зависящей только от лоренци-инвариантных комбинаций 4-импульсов *p_k*. Это граничное значение получается, когда квадрат полной энергии

$$s = (\sum_i p_k)^2 = (\sum_f p_k)^2$$

стремится к действит. оси сверху из области аналитичности, где он комплексен и имеет положительную мнимую часть: *s* = *Re s* + *ie*, *e* → + 0. Инвариантные амплитуды обладают, кроме того, свойством перекрестной симметрии. Оно состоит в том, что амплитуды различных каналов процесса взаимодействия (*i* + *f*) частиц, т. е. амплитуды, описывающие переходы с различным распределением данных (*i* + *f*) частиц на начальные и конечные, являются различными граничными значениями одной общей аналитич. ф-ции *F*. Амплитуда *M_(a)* каждого канала (*a*) получается из *F*, когда один из аргументов *F* — квадрат полной энергии в данном канале, *s_a* устремлен к действит. оси сверху, а остальные аргументы принимают значения в физич. области канала.

Далее, условие унитарности *S*-матрицы позволяет установить, где *Im F* заведомо отлична от нуля. В каждом канале (*a*) инвариантная амплитуда *M_(a)* как ф-ция *s_a* имеет полосы, соответствующие возможным одночастичным состояниям, и («физический») разрез, соответствующий многочастичным состояниям в этом канале. Характеристики этих особенностей — вычеты в полюсах и скачки на физич. разрезах — могут быть определены через матричные элементы *S*-матрицы с помощью той же унитарности. Напр., т. н. абсорбционная часть амплитуды (т. е. скачок амплитуды на физич. разрезе) равна

$$\begin{aligned} \Delta M_{fi} &\equiv M_{fi}(s + ie) - M_{fi}(s - ie) = \\ &= \sum_n \int d\Gamma_n M_{fn}(s + ie) M_{in}^*(s - ie), \end{aligned}$$

где в правой части проводится суммирование по всем возможным промежуточным состояниям (*n*) и интегрирование по фазовому объему в пространстве импульсов каждого состояния. Если иных особенностей, кроме требуемых унитарностью, у *M_{fi}* нет, интеграл Коши в комплексной плоскости *s_a* и представляет собой С. п. для *M_{fi}(s_a)*. Такая простая структура особенностей и составляет отличие С. п. от более общих дисперсионных соотношений. Как показывают результаты исследований амплитуды переходов с *i* + *f* ≥ 3, в частности примеры из теории возмущений, дисперсионные соотно-

шения для амплитуд этих переходов могут иметь т. н. аномальные разрезы, скачки на к-рых не определяются по условию унитарности. В частности, для амплитуды упругого расщепления M_{22} на основе общих положений теории удалось доказать лишь С. п. по квадрату полной энергии s при существенных ограничениях на остальные аргументы M_{22} , квадраты масс частиц и инвариантную передачу импульса t . Однако ввиду их ясного физич. смысла С. Мандельстам предложил принять без доказательства двойные С. п. по s и t для M_{22} , хотя бы как основу простой теоретич. модели процесса взаимодействия. Если для описания перехода частиц 1, 2 в частицы 3, 4 ввести инвариантные переменные

$$s = (p_1 + p_2)^2, \quad t = (p_1 - p_3)^2, \quad u = (p_1 - p_4)^2,$$

причем s, t, u связаны соотношением

$$s + t + u = m_1^2 + m_2^2 + m_3^2 + m_4^2$$

и являются квадратами полной энергии в каналах, где в качестве начальных выступают соответственно частицы 1 и 2, 1 и 3, 1 и 4, то т. н. двойное С. п. Мандельстама приобретает вид:

$$\begin{aligned} M_{22} = F(s, u, t) = & \frac{1}{\pi^2} \int_{S_0}^{\infty} ds' \int_{t_0}^{\infty} dt' \frac{\rho_1(s', t')}{(s' - s - ie)(t' - t - ie)} + \\ & + \frac{1}{\pi^2} \int_{t_0}^{\infty} dt' \int_{u_0}^{\infty} du' \frac{\rho_2(t', u')}{(t' - t - ie)(u' - u - ie)} + \\ & + \frac{1}{\pi^2} \int_{u_0}^{\infty} du' \int_{S_0}^{\infty} ds' \frac{\rho_3(u', s')}{(u' - u - ie)(s' - s - ie)}. \end{aligned}$$

Интегрирование здесь ведется от физич. порогов — квадрата суммы масс низшего промежуточного состояния в соответствующих каналах. Такое С. п. обнаруживает перекрестную симметрию в самом виде записи. Для описания амплитуд всех трех каналов применяется одна ф-ция $F(s, t, u)$, в частности одни и те же определяющие ее спектральные плотности ρ_k . Переход, напр., от амплитуды s -канала к амплитуде t -канала осуществляется заменой s на t , а t на s . Это соответствует тому, что частица 2 заменена на античастицу 3, а частица 3 — на античастицу 2 в самом процессе. С. п. Мандельстама послужило основой многих исследований процессов сильных взаимодействий.

Лит.: 1) Новый метод в теории сильных взаимодействий. Сб. статей, пер. с англ., под ред. А. М. Бродского, М., 1960; 2) Богоявленский Н. И. [и др.], Вопросы теории дисперсионных соотношений, М., 1958. В. П. Павлов.

СПЕКТРАЛЬНЫЕ ПРИБОРЫ — оптич. приборы для разложения в спектр по длинам волн (или частотам) электромагнитного излучения оптич. диапазона (от мягкого рентгеновского излучения до далекой инфракрасной области) и для исследования этих спектров.

По способу разложения излучения в спектр С. п. разделяются на несколько классов. 1) С. п. с пространственным разложением, в к-рых излучение различных длин волн разделяется по направлению. 2) С. п. с амплитудной модуляцией, в к-рых анализ спектрального состава излучения осуществляется за счет изменения разности хода интерферирующих лучей, в результате чего изменяется интенсивность света в заданном направлении в зависимости от длины волны. 3) Фурье-спектрометры, в к-рых непосредственно измеряется интегральное (по длинам волн) излучение как ф-ция разности хода и разложение в спектр осуществляется Фурье-преобразованием измеренных данных. Обычно, в этих С. п. разность хода изменяется непрерывно и тогда в приемнике излучения возникают сигналы различной частоты, величина к-рой зависит от длины волны (поэтому такие С. п. также наз. С. п. с частотной модуляцией). Непосредственно регистрируемый приемником суммарный сигнал является Фурье-преобразованием исследуемого излучения и для получения обычного спектра (т. е. Фурье-разложения) необходимо обратное Фурье-преобразование. 4) К С. п. можно отнести также различного рода светофильтры, к-рые позволяют выделять из исследуемого излучения узкие спектральные участки.

С. п. с пространственным разложением (рис. 1) состоят из входного коллиматора, выходного коллиматора (или камеры), диспергирующего элемента и

фокусирующей оптики. Объектив O_1 образует параллельный пучок спектрально-неразложенного излучения и направляет его на диспергирующий элемент, к-рый преобразует этот пучок

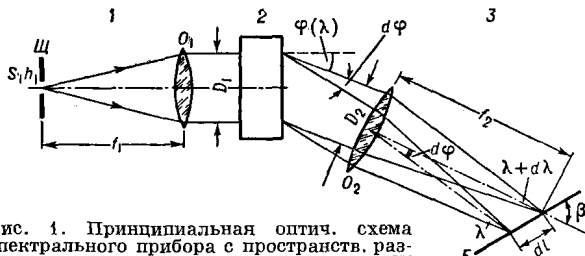


Рис. 1. Принципиальная оптич. схема спектрального прибора с пространств. разложением: 1 — коллиматор со щелью S_1 (ширина S_1 , высота h_1) и объективом O_1 (с фокусным расстоянием f_1); 2 — диспергирующий элемент; 3 — камера с объективом O_2 (фокусное расстояние f_2), F — фокальная плоскость (плоскость спектра); D_1 и D_2 — ширина световых пучков, β — угол между плоскостью спектра и оптич. осью объектива O_2 .

в систему параллельных пучков, выходящих из диспергирующего элемента под различными углами $\phi(\lambda)$, зависящими от длины волны. Камерный объектив O_2 фокусирует отдельные параллельные пучки и образует в фокальной плоскости F совокупность изображений входной щели S_1 в различных длинах волн, т. е. осуществляется пространств. разложение излучения в спектр.

Диспергирующими элементами служат спектральные призмы, действие к-рых основано на явлении дисперсии света, а также интерференционные приборы (дифракционные решетки, Люммер — Герке пластинки, Майкельсона зигзаг, Интерферометр Фабри — Перо), действие к-рых основано на интерференции когерентных лучей, образующихся в этих приборах (см. также Интерферометр, Интерференционные спектроскопы). В зависимости от типа применяемого диспергирующего элемента различают: призменные, дифракционные и интерференционные С. п.

В качестве фокусирующей оптики применяются линзовые объективы, а также вогнутые сферич. и параболич. зеркала. В дифракционных С. п. с вогнутой дифракционной решеткой объективы коллиматоров отсутствуют, т. к. фокусирующее действие осуществляется самой решеткой.

Характер зависимости угла ϕ (рис. 1) от длины волны λ различен для различных диспергирующих элементов. В призменных С. п. происходит образование лишь одного спектра, и ϕ однозначно связано с λ . В дифракц. и интерференц. С. п. образуется несколько спектров различных порядков, к-рые могут частично перекрываться, т. е. ϕ неоднозначно связано с λ (под данным углом ϕ могут идти пучки различных длин волн); для устранения наложения спектров различных порядков необходима дополнит. монохроматизация исследуемого излучения, обычно осуществляется с помощью светофильтров или призменных С. п.

Анализ образующегося в С. п. спектра сводится к измерению его энергии в зависимости от λ . Метод анализа — визуальный, фотографический, фотоэлектрический или тепловой — определяется применяемым приемником излучения. В соответствии с методом регистрации различают визуальные С. п., или спектрографы (наблюдение спектра глазом), спектромеры (измерение потока излучения, выходящего из щели, расположенной в фокальной плоскости камерного объектива, см. Монхроматоры).

Основные спектральные характеристики С. п.: дисперсия спектрального прибора (угловая $d\phi/d\lambda$ и линейная $dl/d\lambda$); разрешающая способность (разрешающая сила); область дисперсии (для интерференц. С. п.) — спектральный интервал, при к-ром не происходит наложения спектров соседних порядков; в это есть С. п., обладающие наибольшей угловой дисперсией, позволяют более точно измерять длину волны спектральных линий и получать при равных геометрич. параметрах С. п. и равной разрешающей силе большую величину потока спектрально разложенного излучения (см. ниже).

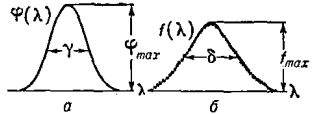
Разрешающая способность С. п. $R = \lambda/\delta\lambda$, где $\delta\lambda$ — разность двух длин волн, к-рые еще можно различить (разрешить) с помощью данного С. п. Величина R для С. п. (как и в случае др. оптич. приборов) определяется его *аппаратной функцией*, случайными ошибками измерения (*шумами*), а также критерием, к-рый устанавливает, что значит различить 2 близкие линии в спектре.

Аппаратная ф-ция $a(x)$ С. п. — наблюдаемое распределение энергии в спектре, полученное с данным С. п. при монохроматич. излучении; ее форма и ширина определяются дифракцией на аппаратурных диафрагмах (к-рыми обычно являются диспергирующие элементы) оптич. системы С. п., aberrациями фокусирующей оптики С. п., конечной шириной входной (а в случае монохроматоров и выходной) щели, рядом параметров регистрирующей системы (напр., светорассеянием в фотоэмульсии при фотографич. регистрации спектра, инерционностью приемно-усилительной системы в случае фотоэлектрич. регистрации и пр.).

Из-за конечной ширины аппаратной ф-ции реальных С. п. наблюдаемое распределение энергии в спектре $f(\lambda)$ отличается от истинного распределения энергии $\phi(\lambda)$ в спектре исследуемого излучения: $f(\lambda) = \int_{-\infty}^{+\infty} \phi(x) a(\lambda - x) dx$, т. е. спектральное разложение, полученное с помощью реальных С. п., отличается от идеального Фурье-разложения исследуемого излучения. С. п. вносит, т. о., систематич. искажения в наблюдаемый спектр. Так, при регистрации линий излучения ширина наблюдаемой спектральной линии δ , вообще говоря, всегда больше истинной ширины линии γ и соответственно: $f_{\max} < \Phi_{\max}$ (рис. 2). Величина аппаратурных искажений зависит от соотношения между γ и шириной аппаратной ф-ции α , а также от формы истинного контура спектральной линии и контура аппаратной ф-ции:

$$\begin{array}{lll} \text{при } \gamma \gg \alpha & \delta \approx \gamma & f_{\max} \approx \Phi_{\max}, \\ \text{при } \gamma \gtrless \alpha & \delta > \gamma & f_{\max} < \Phi_{\max}, \\ \text{при } \gamma \ll \alpha & \delta \approx \alpha & f_{\max} \ll \Phi_{\max}. \end{array}$$

Помимо систематич. искажений спектра, имеют место также случайные искажения или ошибки, связанные с различного рода флуктуаций процессами (*шумами*), в частности с шумами в приемнике излучения, к-рые определяют точность измерения энергии в регистрируемом спектре. В результате действия шумов регистрируемая спектральная линия имеет не гладкую (рис. 2, а), а зубчатую форму (рис. 2, б). При определении разрешающей способности С. п. необходимо учитывать совместное действие аппаратной ф-ции и шумов приемника.



Существует много разнообразных критериев в решении, определяющих минимальную разницу двух монохроматич. излучений, к-рые могут быть различены на основании анализа результирующего распределения с помощью данного приемника излучения.

Наиболее распространен критерий разрешения (особенно при сопоставлении R различных С. п.), основанный на существовании нек-рого минимума (*привала*) в центре результирующего распределения.

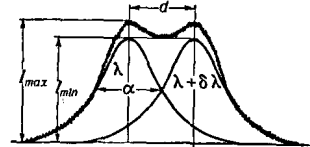


Рис. 3. Наблюдаемое распределение интенсивности в спектре при наложении двух близких длин волн λ и $\lambda + \delta\lambda$, если расстояние между центрами линий d равно ширине аппаратной ф-ции α . Критерий разрешения — существование минимума в середине наблюдаемого распределения.

ния. Согласно этому критерию две монохроматич. линии λ и $\lambda + \delta\lambda$ одинаковой интенсивности считаются разрешенными, если расстояние между их центрами (рис. 3) равно ширине аппаратной ф-ции С. п. α . При этом в результирующем распределении будет «привал» $\Delta = (I_{\max} - I_{\min})/I_{\max}$, величина к-рого зависит от формы аппаратной ф-ции; «привал» может быть обнаружен, если его величина больше среднего квадратичного значения случайных ошибок измерения. В случае дифракц. аппаратной ф-ции $a(\xi) = A_0 (\sin \xi / \xi)^2$, $\Delta = 2\%$; для аппаратной ф-ции Гауссовой формы $a(\xi) = A_0 e^{-\xi^2}$, $\Delta = 3\%$; дисперсионной формы $a(\xi) = A_0 / (1 + \xi^2)$, $\Delta = 17\%$; для щелевой (прямоугольной) и треугольной аппаратных ф-ций $\Delta = 0$; к этому же критерию относится и критерий Релея, где $\Delta = 20\%$ (см. *Спектральные призмы*).

Выразив ширину аппаратной ф-ции в спектроскопич. единицах, напр. в длинах волн $\delta\lambda = \alpha \frac{d\lambda}{d\phi}$, получим выражение для разрешающей силы С. п. в виде $R = \frac{\lambda}{\delta\lambda} = \frac{\lambda}{\alpha} \frac{d\lambda}{d\phi} = \frac{\lambda}{\alpha} f_2 \frac{d\phi}{d\lambda}$. В ряде случаев величины α и $df/d\lambda$ оказываются связанными, так что изменение одной из них приводит к изменению другой. В тех же случаях, когда α и $df/d\lambda$ не зависят друг от друга (напр., при $\alpha = \text{const}$), увеличением линейной дисперсии можно достичь увеличения разрешающей способности. Так, в случае фотографич. регистрации спектра практическая разрешающая сила определяется С. п., если разрешающая способность фотослоя $R_{\Phi} = \frac{\lambda}{\alpha_{\Phi}} \cdot \frac{d\lambda}{d\phi}$ (α_{Φ} — ширина аппаратной ф-ции фотослоя) больше разрешающей способности С. п. $R_{\text{сп}}$. Для призменных и дифракционных спектрографов теоретическая (релеевская) разрешающая сила определяется величиной $R_{\text{сп}} = D_2 d\phi/d\lambda$ (D_2 — сечение пучка, выходящего из диспергирующего элемента), и тогда условие $R_{\Phi} > R_{\text{сп}}$, или $\frac{\lambda}{\alpha_{\Phi}} f_2 \frac{d\phi}{d\lambda} > D_2 \frac{d\phi}{d\lambda}$, накладывает ограничение на относит. отверстие каменного объектива спектрографа: $D_2/f_2 < \lambda/\alpha_{\Phi}$. В спектрографах с светосильными камерными объективами $D_2/f_2 = 1/4.5 - 1/10$ (для $\lambda = 5000 \text{ \AA}$ и $\alpha_{\Phi} = 0.02 \text{ mm}$ $D_2/f_2 > 1/40$) теоретич. разрешающая сила С. п. не реализуется. Только в спектрографах с большой линейной дисперсией (большое f_2 и, следовательно, малое D_2/f_2) может быть реализована теоретич. разрешающая сила С. п.

С вето С. п. Интенсивность спектра, образующегося в С. п., определяется спектральной яркостью источника излучения $B(\lambda)$, геометрич. и спектроскопич. характеристиками С. п., а также коэффи-

пропускания С. п. ε_λ , обусловленного потерями в С. п. (потерями при отражении на поверхности оптических деталей, поглощением в материале оптических деталей и пр.).

В случае изображения С. п. интенсивность наблюдаемого глазом спектра определяется освещенностью, создаваемой на сетчатке глаза при рассматривании через окуляр.

При фотографической регистрации спектра величина почернения на фотопластинке определяется освещенностью изображения. В случае спектральной линии, ширина к-кой γ много меньше спектральной ширины $\delta\lambda = S_1 d\lambda/dl$ изображения входной щели S_1 , освещенность в центре изображения

$$E_\lambda(0) = \varepsilon_\lambda B_\infty \Omega_2, \text{ где } B_\infty = \int_{-\infty}^{+\infty} B(\lambda) d\lambda \text{ — интегральная}$$

ная яркость спектральной линии, $\Omega_2 = \sigma_2/f_2^2$ — телесный угол и σ_2 — площадь сечения пучка, выходящего

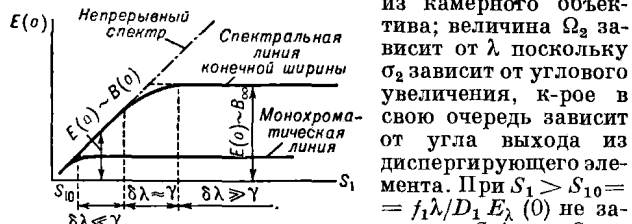


Рис. 4. Зависимость освещенности $E(0)$ в центре изображения спектральных линий от ширины щели S_1 .

аппаратная ф-ция переходит в дифракционную). При $S_1 < S_{10}$ освещенность $E_\lambda(0)$ уменьшается (рис. 4).

Освещенность непрерывного спектра $E_n = \varepsilon_\lambda \bar{B}(\lambda) \Omega_2 d\lambda = \varepsilon_\lambda \bar{B}(\lambda) \Omega_2 \frac{S_1}{f_1 d\phi/d\lambda} W$, где $\delta\lambda = S_2 d\lambda/dl$ и $S_2 = S_1 f_2 W/f_1$, W — угловое увеличение, $\bar{B}(\lambda)$ — среднее значение яркости на участке спектра $\delta\lambda$. Для $S_1 > S_{10} E_n$ пропорциональна S_1 (рис. 4), но при увеличении S_1 вместе с увеличением E_n ухудшается «чистота» непрерывного спектра, т. е. увеличивается величина интервала длин волн $\delta\lambda = S_2 d\lambda/dl$, перекрывающихся в каждой данной точке непрерывного спектра.

В случае спектральных линий конечной ширины $E(0)$ зависит от S_1 более сложно (рис. 4). При $\delta\lambda \ll \gamma$ $E(0) = \varepsilon_\lambda \bar{B}_0 \delta\lambda$, т. е. линейно зависит от S_1 (т. к. $\delta\lambda \sim S_1$), как и в случае непрерывного спектра. При этом $\bar{B}_0 \approx B_0$, где B_0 — яркость в максимуме линии. При $\delta\lambda \gg \gamma$ имеем $E(0) = \varepsilon_\lambda B_\infty \Omega_2 = \text{const}$, т. е. не зависит от S_1 и пропорционально B_∞ . В переходной области $\delta\lambda \approx \gamma$ вид кривой $E(0) = f(S_1)$ зависит от формы контура спектральной линии, а положение этой области зависит от ширины линии γ .

При применении интерферометра Фабри—Перо как С. п. с пространственным разложением, положение спектральных линий определяется ф-цией пропускания, т. е. зависимостью разности хода $\Delta = 2t \mu \cos\theta = m\lambda$ от θ и λ . При этом ширина аппаратной ф-ции не зависит от ширины щели и определяется только коэффиц. отражения зеркал p . Интенсивность же спектральных линий определяется площадью пластин и величиной $T_{\max} = [q/(q+p)]^2$, к-рая является коэффиц. пропускания интерферометра, где q — коэффиц. пропускания интерферометра, где q — коэффиц. пропускания отражающих покрытий; причем $p + q + p = 1$.

При фотографической регистрации спектра величина сигнала, возникающего в приемнике излучения, определяется полным потоком излучения, выходящего из выходной щели моно-

хроматора и падающего на приемник излучения. В случае призменного или дифракц. монохроматора и линейчатого спектра величина потока, выходящего из монохроматора при $S_1 > S_{10}$, равна

$$\Phi_\lambda = \varepsilon_\lambda B_\infty \sigma_2 \beta_1 \delta\lambda d\phi/d\lambda = \varepsilon_\lambda B_\infty \sigma_2 \beta_1 (\lambda/R) (d\phi/d\lambda)$$

(см. Монокроматоры), где $d\lambda = S_2 d\lambda/dl$, $\beta_1 = h_1/f_1$, σ_2 — площадь сечения пучка, выходящего из диспергирующей системы, $R = \lambda/\delta\lambda$. При этом предположено, что ширина S_2 и высота h_2 выходной щели равны ширине и высоте изображения входной щели $S_1 h_1$.

Для непрерывного спектра

$$\Phi_n = \varepsilon_\lambda B(\lambda) \sigma_2 \beta_1 (\delta\lambda)^2 d\phi/d\lambda = \varepsilon_\lambda B(\lambda) \sigma_2 \beta_1 \frac{\lambda^2}{R^2} \frac{d\phi}{d\lambda}.$$

В обоих случаях светосила монохроматора одинаково зависит от геометрич. параметров σ_2 и β_1 , а также от коэффиц. пропускания ε_λ и угловой дисперсии $d\phi/d\lambda$. При этом величина угловых размеров высоты щели $\beta_1 = h_1/f_1$ ограничивается ростом внеосевых aberrаций (увеличивающих ширину аппаратной ф-ции).

Представляет интерес сопоставить светосилу различных С. п. при одном и том же значении R и разных геометрич. размерах диспергирующих элементов.

В случае призменного монохроматора выражение для потока (при линейчатом спектре) может быть преобразовано к виду: $\Phi_n = \varepsilon_\pi B_\infty \beta_1 A \frac{\lambda}{n R_\pi} \frac{dn}{d\lambda}$, где A_π — площадь основания призмы, $dn/d\lambda$ — дисперсия материала призмы, R_π — ее разрешающая способность.

В случае дифракц. монохроматора, построенного по автоколлимаци. схеме или близкой к ней ($\psi \approx \varphi$, см. Дифракционная решетка),

$$\Phi_p = \varepsilon_p B_\infty \beta_1 (\lambda/R_p) A_p \left(2 \frac{\sin \varphi}{\lambda} \right),$$

где A_p — площадь решетки, φ — угол дифракции. Положив: $A_\pi = A_p$, $R_\pi = R_p$, $\varepsilon_\pi = \varepsilon_p$ и $\varphi = 30^\circ$, получим для отношения потоков: $P = \Phi_n/\Phi_p = \lambda dn/d\lambda$. Расчет показывает, что для различных известных материалов и областей спектра величина $P < 1$, т. е. дифракционная решетка имеет преимущество в светосиле перед призмой. Для большинства известных материалов $P < 0,13$, достигая в области $0,5-4 \mu$ значения $P = 0,01-0,02$. Равенство $\varepsilon_\pi = \varepsilon_p$ может быть достигнуто лишь при применении эшелетта, концентрирующего энергию в определенном порядке спектра. Кроме того, практически обычно реализуется случай $A_p > A_\pi$, что дает дополнительное преимущество для дифракц. решетки.

Если же сравнить призменный и дифракц. спектрометры при одном и том же отношении сигнал/шум, т. е. при равных потоках, то дифракционный спектрометр позволяет получить значительно большую разрешающую силу: $R_p/R_\pi = 1/P$, при $P = 0,1-0,01$ разрешающая сила выше в $10-100$ раз.

При применении интерферометра Фабри—Перо в схеме с амплитудной модуляцией, S_1 и S_2 — круглые диафрагмы входного и выходного коллиматоров; P , P' — пластины воздушного интерферометра Фабри—Перо; t — расстояние между зеркальными плоскостями; d — приемник излучения; μ — коэффиц. преломления среды между зеркалами с устанавливающимися диафрагмами с круглыми отверстиями, диаметры к-рых берутся равными ширине аппаратной ф-ции интерферометра Фабри—Перо. При изменении расстояния между зеркалами t или при изменении показателя преломления среды μ

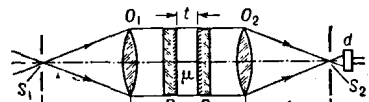


Рис. 5. Схема сканирующего интерферометра Фабри—Перо как С. п. с амплитудной модуляцией. S_1 и S_2 — круглые диафрагмы входного и выходного коллиматоров; P , P' — пластины воздушного интерферометра Фабри—Перо; t — расстояние между зеркальными плоскостями; d — приемник излучения; μ — коэффиц. преломления среды между зеркалами.

изменяется разность хода $\Delta = 2t\mu = m\lambda$, а следовательно, и величина потока, выходящего из выходной диафрагмы в зависимости от длины волны λ . Величина потока $\Phi_i = 3,4 T_{\max} B_{\infty} A_i / R_s$, где T_{\max} — коэффициент пропускания интерферометра, эквивалентный коэффициенту пропускания ε_p в случае решетки или призмы, A_i — площадь аппертурной диафрагмы интерферометра (площадь зеркал), R_s — эффективная разрешающая сила, равная 0,7 от релеевской.

Сравним светосилу интерферометра Фабри — Перо и дифракционного монохроматора при равных разрешающих силах $R_s = R_p$, равных площадях $A_i = A_p$ и $T_{\max} = \varepsilon_p$ (последнее выполняется при диэлектрических многослойных зеркалах, когда $T_{\max} \approx 0,7$). Отношение потоков $G = \Phi_i / \Phi_p = 3,4 / \beta_1$, т. е. определяется угловыми размерами высоты щели $\beta_1 = h_1 / f$, дифракционного монохроматора. Обычно $\beta_1 = 0,1 - 0,01$ и, следовательно, интерферометр Фабри — Перо дает значительный (от 35 до 350 раз) выигрыш в светосиле, а при равных отношениях сигнал/шум дает такой же выигрыш в разрешающей силе $R_s / R_p = 1/G$. Реально A_p может быть больше A_i и величина $G = 3,4 A_i / \beta_1 A_p$ несколько уменьшится, но все же $G > 1$.

Интерферометр Майкельсона, используемый как С. п. с амплитудной модуляцией (СИСАМ, рис. 2 в ст. *Интерферометр Майкельсона*), имеет при равной разрешающей силе такую же светосилу, как и интерферометр Фабри — Перо, т. е. он также имеет преимущество в светосиле по сравнению с дифракционным и призменным спектрометрами. Однако выигрыши в отношении сигнала/шума СИСАМ дает лишь в том случае, если регистрируемые шумы определяются лишь шумами приемника, т. е. если их величина не зависит от величины полного потока радиации, попадающего на приемник (что, напр., имеет место в инфракрасной области спектра).

В С. п. с частотной модуляцией или в Фурье-спектрометрах (см. *Интерферометр Майкельсона*) геометрические параметры, определяющие светосилу, такие же, как и в интерферометре Фабри — Перо или СИСАМе, т. к. все они имеют одну и ту же геометрию. Однако в Фурье-спектрометре осуществляется одновременная регистрация всех спектральных линий (подобно фотографическому методу), в то время как во всех других спектрометрах спектр сканируется последовательно — линия за линией. Поэтому Фурье-спектрометр дает значительный выигрыш во времени регистрации спектра, а при одном и том же времени регистрации позволяет получить выигрыш (в 10^2 и 10^3 раз) в отношении сигнала/шум (а следовательно и в светосиле) при равной разрешающей способности. Однако здесь, как и в случае СИСАМа, этот выигрыш будет иметь место, если регистрируемый шум определяется шумами приемника, а не фотонным шумом, зависящим от полной интенсивности излучения, падающего на приемник, величина которой в Фурье-спектрометре соответственно больше. С этой точки зрения Фурье-спектрометр имеет преимущество в светосиле по сравнению с интерферометром Фабри — Перо и СИСАМом (при равных геометрических параметрах и равной разрешающей силе) лишь в средней и далекой инфракрасной областях спектра, где в большинстве случаев шум определяется приемниками излучения. В видимой же и ультрафиолетовой областях спектра при приемниках в виде фотоэлементов и фотоумножителей регистрируемый шум является фотонным и потому Фурье-спектрометр не имеет дополнительного преимущества в светосиле.

Основные оптические схемы С. п.

Среди призменных С. п. (см. *Спектральные призмы*) для видимой области спектра наиболее часто применяются трехпризменные С. п. постоянного отклонения

(рис. 6), в которых коллиматор и камера расположены под прямым углом. Часто такие приборы имеют сменные коллиматоры и камеры с объективами различных фокусных расстояний (спектрограф ИСП-51). В ультрафиолетовой области (2000—4000 Å) применяются С. п. с кварцевой призмой Корнио, состоящей из двух 30° призм из право- и левовращающегося кварца с оптической осью, параллельной основанию призмы (рис. 7, ИСП-28). В области 1100—2500 Å применяются призменные С. п. с призмой из LiF или CaF₂, а в более

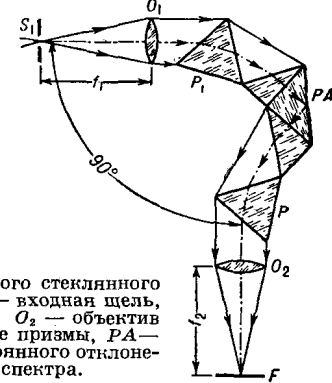


Рис. 6. Схема трехпризменного стеклянного спектрографа (ИСП-51). S_1 — входная щель, O_1 — объектив коллиматора, O_2 — объектив камеры, P , P_1 — трехгранные призмы, RA — составная призма Аббе постоянного отклонения, F — плоскость спектра.

длинной волновой области (до $\lambda \approx 10 - 20$ Å) — только С. п. с дифракционной решеткой (см. *Вакуумная спектроскопия*). В инфракрасной области применяются как призменные (построенные, гл. обр., по автоколлимационной схеме) спектрометры (до $\lambda = 50$ μ), так и

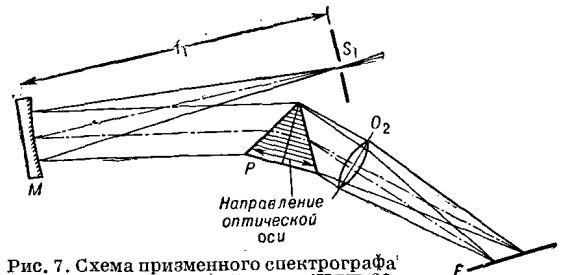


Рис. 7. Схема призменного спектрографа с кварцевой призмой Корнио (ИСП-22, ИСП-28): M — сферич. зеркало входного коллиматора, S_1 — входная щель, P — призма Корнио, O_2 — линзовый камерный объектив.

различные дифракционные спектрометры с плоскими дифракционными решетками (до $\lambda = 2000$ μ) с зеркальной фокусирующей оптикой (см. *Монохроматоры, Инфракрасная спектроокопия*).

Существует большое число различных схем С. п. с плоской дифракционной решеткой как с линзовой, так и зеркальной фокусирующей оптикой. В С. п. с вогнутой дифракционной решеткой нет спец. фокусирующей оптики, а входная щель, решетка и спектральные линии располагаются на окружности (круг Рууланда), диаметр которой равен радиусу кри-

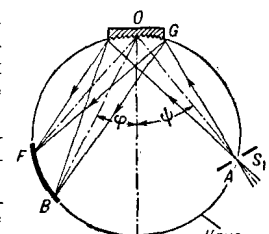


Рис. 8. Схема спектрографа с вогнутой дифракционной решеткой: $r = OC$ — радиус кривизны решетки, G — вогнутая дифракционная решетка, ψ — угол падения, ϕ — угол дифракции, $AO = r \cos \phi$ — расстояние от входной щели S_1 до решетки, $BO = r \cos \psi$ — расстояние от решетки до круга Рууланда, F — плоскость спектра, совпадающая с кругом Рууланда.

визны дифракционной решетки r (рис. 8). Положение спектральных линий на круге Рууланда определяется, как и в случае плоской дифракционной решетки, соотношением $d(\sin \psi + \sin \phi) = m\lambda$, где d — период решетки, m —

порядок спектра. Выражения для угловой дисперсии, разрешающей силы и области дисперсии для вогнутой решетки те же, что и для плоской решетки. Линейная дисперсия $d\lambda/d\delta = \rho d\phi/d\delta$. С. п. с вогнутой дифракц. решеткой обладают большим астигматизмом. В коротковолновой области спектра ($10-1000 \text{ \AA}$) применяются С. п. с вогнутой дифракц. решеткой (с числом птичек 1200—1500 на мм) скользящего падения, где углы падения ψ и дифракции ϕ достигают значений 80° и более. Однако при таких углах очень велик астигматизм, что приводит к большой потере освещенности в изображении спектральных линий. В областях спектра больше 1000 \AA применяются С. п. нормального падения ($\psi \approx 0$) и автоколлимационные ($\psi \approx \phi$). Радиусы кривизны вогнутых дифракц. решеток достигают 10 м и более, что позволяет получить большую линейную дисперсию, определять длины волн линий с большой точностью и реализовать теоретич. разрешающую способность дифракц. решетки.

Спектральные характеристики различных спектральных приборов с пространственным (для $\lambda = 5000 \text{ \AA}$ при фокусном расстоянии камеры $f_2 = 100 \text{ см}$): n — число интерферирующих пучков, m — порядок спектра, $d\lambda/dl$ — обратная величина линейной дисперсии, $\delta\lambda$ — минимально разрешимый интервал, $R = \lambda/\delta\lambda = m$ — теоретическая (релеевская) разрешающая сила, $\Delta\lambda = \lambda/m$ — область дисперсии.

| Спектральный прибор | n | m | $d\lambda (\text{\AA})$ | $\delta\lambda (\text{\AA})$ | R | $\Delta\lambda (\text{\AA})$ |
|---|------------|----------------|-------------------------|------------------------------|------------------|------------------------------|
| Призменный спектрограф (3 призмы, $\alpha = 60^\circ$, основание $t = 15 \text{ см}$, дисперсия $dn/d\lambda = 5 \cdot 10^2 \text{ см}^{-1}$). | 1 | 0 | 10 | 0,2 | $2,5 \cdot 10^4$ | ∞ |
| Спектрограф с дифракц. решеткой (длина решетки 10 см , период 10^{-4} см). | 10^5 | 2 | 5 | 0,025 | $2 \cdot 10^5$ | 2500 |
| Эшелон Майкельсона (50 ступеней толщины $t = 1 \text{ см}$, $\mu^* = 1,5$). | 50 | 10^4 | 1 | 0,01 | $5 \cdot 10^5$ | 0,5 |
| Пластина Люммера—Герке (длина $L = 30 \text{ см}$, толщина $t = 1 \text{ см}$, $\mu^* = 1,4$). | 15 | $4 \cdot 10^4$ | 0,425 | 0,008 | $6 \cdot 10^5$ | 0,42 |
| Интерферометр Фабри—Перо (воздушный, расстояние между зеркалами $t = 5 \text{ см}$, $\rho^{**} = 0,92$). | 30^{***} | $2 \cdot 10^5$ | 0,01 | 0,0008 | $6 \cdot 10^6$ | 0,025 |

* μ — коэффициент преломления стекла. ** ρ — коэффициент отражения зеркал. *** эффективное число пучков.

Лит.: 1) Нагибина И. М., Прокофьев В. К., Спектральные приборы и техника спектроскопии, М. — Л., 1963; 2) Королев Ф. А., Спектроскопия высокой разрешающей силы, М., 1953; 3) Зайдель А. Н. [и др.], Эмиссионный спектральный анализ атомных материалов, М. — Л., 1960, гл. 4; 4) Шишловский А. А., Прикладная физическая оптика, М., 1961; 5) Сойер Р., Экспериментальная спектроскопия, пер. с англ., М., 1953; 6) Толанский С., Спектроскопия высокой разрешающей силы, пер. с англ., М., 1955; 7) Жакино П., «УФН», 1960, т. 72, вып. 4; 1962, т. 73, вып. 1; 8) Гаррисон Д., Лорд Р., Луэрбург Д., Практическая спектроскопия, пер. с англ., М., 1950; 9) Фриш С. Э., Техника спектроскопии, Л., 1936; 10) Чистер А., Введение в теоретическую оптику, пер. с англ., М., 1935. В. И. Малышев.

СПЕКТРАЛЬНЫЕ ПРИЗМЫ — трехгранные призмы из прозрачного материала, применяемые в качестве диспергирующих элементов в призменных спектральных приборах (см. также Дисперсионные призмы).

Ход монохроматич. луча (параллельного пучка), лежащего в главном сечении (плоскости, перпендикулярной преломляющим ребрам С. п.) системы С. п., можно получить решением

углов призм и углов между нормалями и лучом внутри каждой призмы (3). Для системы С. п., ограниченных 4 преломляющими гранями (рис. 1, a), эти ур-ния имеют вид:

$$\begin{aligned} 1) n_0 \sin i_1 &= n_1 \sin i'_1; & 2) \delta_1 &= -i_1 + i'_1; \\ n_1 \sin i_2 &= n_2 \sin i'_2; & \delta_2 &= -i_2 + i'_2; \\ n_2 \sin i_3 &= n_3 \sin i'_3; & \delta_3 &= -i_3 + i'_3; \\ n_3 \sin i_4 &= n_4 \sin i'_4; & \delta_4 &= -i_4 + i'_4; \\ 3) a_1 &= -i'_1 + i_2; & \\ a_2 &= -i'_2 + i_3; & \\ a_3 &= -i'_3 + i_4; & \end{aligned}$$

где n_j — показатель преломления, δ_j — углы отклонения при преломлении на каждой грани, i_j и i'_j — углы падения и преломления на j -той грани, a_j — преломляющие углы призм. В приведенных ур-ниях в соответствии с общепринятым правилом знаков: $a_1, a_3 > 0$, $a_2 < 0$; $i_1, i'_1, i_3, i'_3 < 0$; $i_2, i'_2, i_4, i'_4 > 0$.

Угол полного отклонения луча системы С. п. равен $\delta = i'_4 - i_1 - \sum_{j=1}^3 a_j$. Для заданной системы С. п.

величина δ зависит от угла падения i_1 на первую грань системы и при нек-ром значении $i_1 = i_{1\text{то}}$ имеет миним. значение. Из условия минимума отклонения $d\delta/di_1 = 0$ вытекает, что

$$W_m = \frac{di'_4}{di_1} = \frac{n_0 \cos i_1 \cos i_2 \cos i_3 \cos i_4}{n_4 \cos i'_1 \cos i'_2 \cos i'_3 \cos i'_4} = 1$$

(W_m — наз. меридиональным угловым увеличением системы С. п.).

Угловое увеличение С. п. — один из факторов, определяющих ширину изображения входной щели коллиматора. Для одной

призмы в воздухе ($n_0 = n_2 = 1$) оно равно $W_m = \frac{di'_2}{di_1} = \frac{\cos i_1 \cos i_2}{\cos i'_1 \cos i'_2}$ и его величина изменяется (рис. 2)

от $W_m = 0$ при $i_1 = 90^\circ$ до $W_m = \infty$ при $i_1 = i_{1\text{пр}}$ ($i_{1\text{пр}}$ — предельный угол падения, при к-ром $i'_2 = 90^\circ$). При минимуме отклонения $i_1 = i_{1\text{то}}$, $W_m = 1$, $i'_2 = i_1$, что осуществляется при симметричном ходе луча через С. п.: $i_1 = i'_2$, $i'_1 = i_2 = a_1/2$. В этом случае из законов преломления можно получить соотношение $n_1 = (\sin \frac{a_1 + \delta_m}{2})/\sin \frac{a_1}{2}$, к-рым

пользуются для определения n призмы (см. Рефрактометры). Выражение для W_m может быть также получено в виде: $W_m = di'_2/di_1 = D_1/D_2$, где D_1 и D_2 (рис. 3) — ширина параллельного пучка, входящего в С. п. и выходящего из нее. В общем случае $D_1 \neq D_2$ и только при $i_1 = i_{1\text{то}}$, $D_1 = D_2$. Сагиттальное угловое увеличение W_s С. п. (в плоскости, перпендикулярной к главному сечению) не зависит от угла падения i_1 и $W_s = 1$.

Рис. 2. Зависимость меридионального углового увеличения W_m призмы от угла падения i_1 луча.

Рис. 3. Ход параллельного пучка лучей через призму.

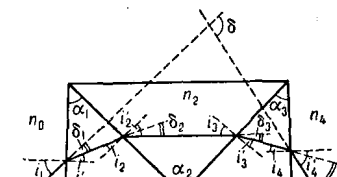


Рис. 1. Ход луча в главном сечении системы из 3 призм.

системы ур-ний, включающих в себя: соотношения между углами падения и преломления на гранях каждой призмы (1), выражения для углов отклонения при преломлении (2) и ур-ния, связывающие преломляю-

Для системы из любого числа С. п. (имеющих k преломляющими гранями) выражения для δ и W_m имеют вид:

$$\delta = i_k' - i_1 - \sum_{j=1}^{k-1} \alpha_j; \quad W_m = \frac{di_k'}{di_1} = \frac{n_0}{n_k} \prod_{j=1}^k \frac{\cos i_j}{\cos i_j'} = \frac{D_1}{D_k},$$

а условие минимума отклонения $di_k'/di_1 = 1$, или $D_1 = D_k$.

Если падающий на призму луч A_1O_1 не лежит в главном сечении $C_1C_2C_3C_4$, а составляет угол θ_1 со своей проекцией B_1O_1 на главное сечение (рис. 4, a), то ход такого луча через призму отличается от хода

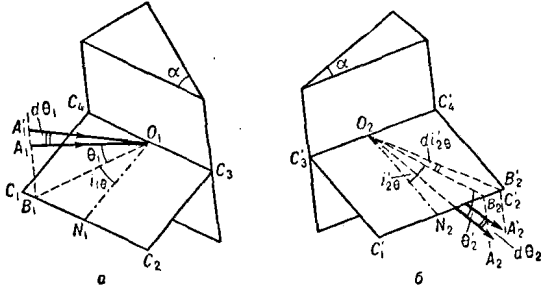


Рис. 4. Ход луча, не лежащего в главном сечении призмы.

луча, лежащего в главном сечении ($\theta_1 = 0$). А именно $i_{2\theta}$ (рис. 4, б), образованный проекцией B_2O_2 , выходящего из призмы луча на главное сечение $C_1'C_2'C_3'C_4'$ и нормалью O_2N_2 к точке выхода, зависит от θ_1 при заданном угле $i_{1\theta}$; $i_{2\theta}$ тем больше, чем больше θ_1 . Связь между приращениями углов $di_{2\theta}'$ и $d\theta_1$ дается выражением

$$di_{2\theta}' = \frac{n_1^2 - 1}{n_1} \frac{\sin \alpha_1}{\cos i_{1\theta} \cos i_{2\theta}} \frac{\tan \theta_1}{\cos^2 \theta_1} d\theta_1$$

($d\theta_1 = d\theta_2$, поскольку $W_s = 1$). Такой характер отклонения призмой лучей, не лежащих в главном сечении, служит причиной искривления спектральных линий: прямолинейная щель входного коллиматора, перпендикулярная к главному сечению призмы, изображается в фокальной плоскости камерного объектива в виде кривой линии.

Астигматизм С. п. Если на С. п. падает строго параллельный пучок лучей, то призма не вносит никаких aberrаций (см. Аберрации оптических систем). Если же на С. п. падает узкий гомоцентрический пучок лучей, то выходящий из призмы пучок перестает быть гомоцентрическим. Вместо одной точки выходящие из призмы лучи будут пересекаться в двух взаимно-перпендикулярных отрезках — астигматич. фокусах (рис. 5, см. также Астигматизм). Величина продольной астигматич. разности равна:

$$\Delta = t_{2m} - t_{2s} = t \left(\frac{1}{W_m^2} - 1 \right) - \frac{d}{n_1} \left[\left(\frac{\cos i_{2m}'}{\cos i_2} \right)^2 - 1 \right].$$

При угле минимума отклонения $\Delta \neq 0$ и абр. величина Δ резко возрастает при выходе из минимума отклонения. Астигматизм С. п. приводит к искажению изображения спектр. линий, затрудняя проведение нек-рых спектроскопич. измерений и пр.

Угловая дисперсия С. п. Поскольку показатель преломления материала призмы зависит от длины волны λ , угол отклонения δ будет различным для разных λ , что приводит к пространственному разделению излучений по λ . Выражение для угловой дисперсии системы призм, ограниченных 4 преломляющими гранями (рис. 1), имеет вид:

$$\frac{d\delta}{d\lambda} = \frac{di_k'}{d\lambda} = \frac{dn_1}{d\lambda} \frac{\sin \alpha_1}{\cos i_1' \cos i_2} \frac{\cos i_3 \cos i_4}{\cos i_3' \cos i_4'} + \\ + \frac{dn_2}{d\lambda} \frac{\sin \alpha_2}{\cos i_2' \cos i_3} \frac{\cos i_4}{\cos i_4'} + \frac{dn_3}{d\lambda} \frac{\sin \alpha_3}{\cos i_3' \cos i_4} ,$$

где $dn/d\lambda$ — дисперсия показателей преломления отдельных призм. Для системы призм, ограниченных k преломляющими гранями,

$$\frac{d\delta}{d\lambda} = \frac{di_k'}{d\lambda} = \sum_{j=1}^{k-1} \frac{dn_j}{d\lambda} \frac{\sin \alpha_j}{\cos i_j' \cos i_{j+1}'} \prod_{v=j+2}^k \frac{\cos i_v}{\cos i_v'}.$$

Угловая дисперсия в общем случае не аддитивна. Так, напр., для 3 призм в воздухе (рис. 6), когда

$$(d\delta)_{1,3,5} = (\frac{d\delta}{d\lambda})_1 W_{m3} W_{m5} + (\frac{d\delta}{d\lambda})_3 W_{m5} + (\frac{d\delta}{d\lambda})_5 ,$$

где $(\frac{d\delta}{d\lambda})_j = \frac{\sin \alpha_j}{\cos i_j' \cos i_{j+1}'} \frac{dn_j}{d\lambda}$ — угловая дисперсия отдельной j -той призмы, $W_{mj} = \frac{\cos i_j \cos i_{j+1}}{\cos i_j' \cos i_{j+1}'}$ — ее угловое увеличение, т. е. угловая дисперсия каждой призмы умножается на угловое увеличение всех последующих (считая по ходу луча) призм. Угловое увеличение всей системы призм, находящихся в воздухе, равно произведению угловых увеличений отдельных призм, например:

$$W_{1,3,5} = W_1 W_3 W_5.$$

Как $(d\delta/d\lambda)_{1,3,5}$, так и $W_{1,3,5}$ зависит от угла падения i_1 луча на первую грань призм.

Для частного случая, когда каждая из С. п. системы установлена в положение минимума отклонения, $W_1 = W_3 = W_5 = 1$, $W_{1,3,5} = 1$ и

$$(\frac{d\delta}{d\lambda})_{1,3,5} = (\frac{d\delta}{d\lambda})_{1mo} + (\frac{d\delta}{d\lambda})_{3mo} + (\frac{d\delta}{d\lambda})_{5mo},$$

т. е. дисперсия системы равна сумме дисперсий отдельных призм.

Для одной призмы $(\frac{d\delta}{d\lambda})_1 = \frac{\sin \alpha_1}{\cos i_1' \cos i_2} \frac{dn_1}{d\lambda}$ имеет минимальное значение при $i_1 = i_{1mg}$ (рис. 7, пунктир), причем $i_{1mg} > i_{1mo}$; при $i_1 \rightarrow i_{1pr}$, $(d\delta/d\lambda) \rightarrow \infty$. Угол минимума дисперсии i_{1mg} существует для призм с $n \approx 1,7$ при $\alpha_1 \leq 50^\circ$; если же $\alpha_1 \approx 60^\circ$, то $(d\delta/d\lambda)_1$ монотонно возрастает при увеличении i_1 от 90° до i_{1pr} (рис. 7, сплошная кривая). В положении минимума отклонения величина $d\delta/d\lambda$ имеет конечное значение и может быть значительно увеличена при уменьшении $i_{1pr} < i_1 < i_{1mo}$. Но при этом будет возрастать и W , вызывая уширение изображения щели. Однако для системы призм (2, 3 и больше) можно осуществить такую установку отдельных призм, чтобы W всей системы было равно единице, а $d\delta/d\lambda$ системы была больше суммы дисперсий отдельных призм в минимуме отклонения. Так, для

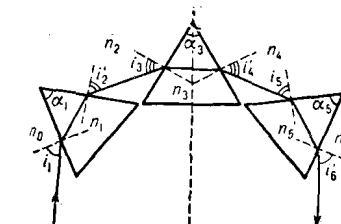


Рис. 6. Симметричный ход луча в системе из 3 одинаковых призм в воздухе.

случая 3 одинаковых призм (рис. 6) это имеет место при симметричном ходе луча во всей системе в целом ($i_1 = i'_6$, $i_3 = i'_4$), когда средняя призма в минимуме отклонения, а крайние призмы не в минимуме отклонения; $W_1, 3, 5 = 1$, $i_1 > i_{1mo}$.

Такая установка призм позволяет до 10 раз увеличить угловую дисперсию спектр. приборов.

Разрешающая способность С. п. В большинстве призменных спектр. приборов С. п. является аппертурной диафрагмой, ограничивающей фронт волны лучей, участвующих в образовании изображения щели. Дифракционные явления (см. Дифракция света), происходящие в результате ограничения фронта волны

призмой, — одна из причин, определяющих аппаратную функцию спектр. приборов, а следовательно, и их разрешающую силу. Дифракц. явления на С. п. происходят так же, как на прямоугольном отверстии, ширина к-рого равна ширине пучка D_2 , выходящего из призмы. Угловое расстояние между серединой центрального дифракц. максимума и первым минимумом дифракц. распределения равно: $\sin \Delta i_2' = \lambda/D_2$, или, т. к. $\lambda \ll D_2$, $d\delta_2 = \lambda/D_2$. Если в падающем на призму пучке имеются излучения двух длин волн λ и $\lambda + d\lambda$ и аппаратная ф-ция определяется только дифракцией (бесконечно узкая щель коллиматора и отсутствие aberrаций), то угловой дисперсии

$$d\delta = \frac{\sin a}{\cos i_1' \cos i_2'} \frac{dn}{d\lambda} d\lambda.$$

Согласно Релею, две линии (одинаковой интенсивности) считаются разрешенными, если $d\delta \geq d\delta_2'$. Из равенства $d\delta = d\delta_2'$ получаем выражение для разрешающей силы

$$R = \frac{\lambda}{d\lambda} = D_2 \frac{\sin a}{\cos i_1' \cos i_2'} \frac{dn_1}{d\lambda} = D_2 \frac{d\delta}{d\lambda},$$

к-рое часто наз. теоретической, или релеевской разрешающей силой.

Выражение для R может быть также получено в виде: $R = t dn/d\lambda$, где t — длина пути крайнего луча пучка в призме (рис. 9). Если аппертурной

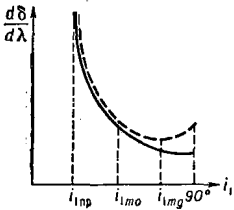


Рис. 7. Зависимость угловой дисперсии $d\delta/d\lambda$ от угла падения i_1 луча. Пунктир — для призмы с $a = 50^\circ$ и $n = 1,7$; сплошная линия — для призмы с $a \approx 60^\circ$ и $n = 1,7$.

призмой, — одна из причин, определяющих аппаратную функцию спектр. приборов, а следовательно, и их разрешающую силу. Дифракц. явления на С. п. происходят так же, как на прямоугольном отверстии, ширина к-рого равна ширине пучка D_2 , выходящего из призмы. Угловое расстояние между серединой центрального дифракц. максимума и первым минимумом дифракц. распределения равно:

$\sin \Delta i_2' = \lambda/D_2$, или, т. к. $\lambda \ll D_2$, $d\delta_2 = \lambda/D_2$. Если в падающем на призму пучке имеются излучения двух длин волн λ и $\lambda + d\lambda$ и аппаратная ф-ция определяется только дифракцией (бесконечно узкая щель коллиматора и отсутствие aberrаций), то угловой дисперсии

две линии (одинаковой интенсивности) считаются разрешенными, если $d\delta \geq d\delta_2'$. Из равенства $d\delta = d\delta_2'$ получаем выражение для разрешающей силы

$$R = \frac{\lambda}{d\lambda} = D_2 \frac{\sin a}{\cos i_1' \cos i_2'} \frac{dn_1}{d\lambda} = D_2 \frac{d\delta}{d\lambda},$$

к-рое часто наз. теоретической, или релеевской разрешающей силой.

Выражение для R может быть также получено в виде: $R = t dn/d\lambda$, где t — длина пути крайнего луча пучка в призме (рис. 9). Если аппертурной

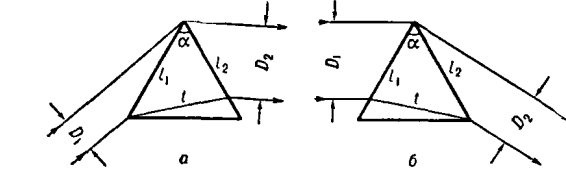


Рис. 9. Ограничение ширины пучка призмой: а — для $i_1 > i_{1mo}$; б — для $i_1 < i_{1mo}$.

диафрагмой служит не призма, а к-л. другая диафрагма, напр. оправа объектива коллиматора, т. е. призма заполнена не целиком (рис. 3), то $R = (t_2 - t_1)dn/d\lambda$, где $t_2 - t_1$ — разность длин оптич. путей крайних лучей пучка в призме. При этом R меньше, чем в случае заполнения всей призмы. Если призма заполнена и установлена в положении мини-

мума отклонения $i_1 = i_{1mo}$, то $D_1 = D_2$, $t = t_0$ и $R = t_0 dn/d\lambda$, где t_0 — длина основания призмы. Величина R призмы конечных размеров, установленной в положении минимума отклонения, максимальна. При выходе призмы из минимума отклонения R уменьшается, т. к. $t < t_0$; при этом для углов $i_1 > i_{1mo}$ ширина D_2 пучка, выходящего из призмы, определяется входной границией призмы i_1 (рис. 9, а), а для углов $i_1 < i_{1mo}$ — выходной границией i_2 (рис. 9, б). Разрешающая способность — величина аддитивная.

Потери на отражение в С. п. При прохождении пучка света через призму происходит также частичное его отражение на входной и выходной гранях призмы. Интенсивность отраженного света определяется величиной коэффиц. отражения (см. Отражение света). Поскольку при больших углах падения коэффиц. отражения для света различной поляризации значительно отличаются, то призма производит поляризующее действие. Величина потерь света при отражении в С. п. значительна. Так, для системы из трех призм с $a = 60^\circ$, $n = 1,685$, установленных в положении минимума отклонения, интенсивность выходящего из призм пучка составляет лишь 63% от падающего. Величина потерь на отражение возрастает при выводе призмы из минимума отклонения, а также увеличивается с возрастанием a . Поскольку величина угловой дисперсии также зависит от угла призмы, то оказалось, что система из 3 призм $a = 60^\circ$ и $n = 1,7$ оптимальна по отношению к величине угловой дисперсии (она достаточно велика) и к величине потерь на отражение (они порядка 30%). Поэтому в большинстве совр. призменных спектр. приборов диспергирующая система состоит из 3 призм с $a \approx 60^\circ$.

Материал С. п. должен быть прежде всего прозрачен в той области спектра, на к-ую рассчитан спектр. прибор, и должен обладать наибольшей дисперсией $dn/d\lambda$. Кроме того, материал должен быть однородным в больших кусках, химически стойким и относительно легко оптически обрабатываемым. Поэтому С. п., предназначенные для различных областей спектра, изготавливаются из различных материалов.

Лит.: 1) Ландсберг Г. С., Оптика, 4 изд., М. — Л., 1957 (Общий курс физики, т. 3); 2) Прокофьев В. К., Фотографические методы количественного спектрального анализа металлов и сплавов, ч. 1, М. — Л., 1951; 3) Малышев В. И., Методы увеличения дисперсии спектрального аппарата, «Изв. АН СССР, сер. физ.», 1950, т. 14, № 6; 4) Тулровский А. И., Теория оптических приборов, 2 изд., М. — Л., 1948; 5) Нагибина И. М., Прокофьев В. К., Спектральные приборы и техника спектроскопии, М., 1963. В. И. Малышев.

СПЕКТРАЛЬНЫЕ СЕРИИ — группы спектральных линий, возникающие при разрешенных переходах с различных уровней на один и тот же конечный уровень. Линии С. с. сходятся к пределу, или границе С. с. Наблюдаемая совокупность спектральных линий наиболее отчетливо разбивается на С. с. в спектрах элементов первых подгрупп периодич. системы Менделеева: водорода, гелия, щелочных и щелочноземельных металлов (см. Бальмера формула, Бальмера серия, Лаймана серия, Пашена серия, Главная серия, Диффузная серия, Резкая серия, Бергмана серия). См. также Атомные спектры.

СПЕКТРАЛЬНЫЙ АНАЛИЗ — физич. метод определения качественного и количественного состава вещества на основе изучения его спектров. В зависимости от характера исследуемых спектров различают: С. а. по спектрам испускания (эмиссионный), дающий элементарный состав пробы; С. а. по спектрам поглощения в газе, жидкости или твердом теле (абсорбционный), позволяющий определять как элементарный, так и молекулярный состав вещества; С. а. по спектрам комбинац. рассеяния света, по спектрам люминесценции; С. а. по рентгеновским спектрам.

В соответствии с решаемыми задачами С. а. можно разделить на: 1) С. а. элементарного состава вещества, или атомный С. а., по оптич. спектрам испускания, поглощения и люминесценции, а также по рентгеновским спектрам (см. *Спектральный анализ рентгеновский*); 2) С. а. молекулярного состава вещества по спектрам поглощения во всех областях спектра, спектрам люминесценции и комбинац. рассеяния (см. *Молекулярный спектральный анализ*).

Атомный спектральный анализ обладает высокой чувствительностью (сравнит. легко можно определять примеси в концентрациях 10^{-5} — $10^{-6}\%$), дает возможность проводить определение состава образцов очень малого веса (до неск. десятков μg). Универсальность и сравнит. простота процедуры анализа способствовали развитию С. а. в основной метод контроля в металлургии, машиностроении, геологии, атомной индустрии и др. Атомный С. а. — один из основных методов астрофизики, позволяющий устанавливать элементарный состав космич. объектов.

Эмиссионный С. а. — совокупность методов определения элементарного состава вещества по его спектру испускания. Качественный С. а. состоит в обнаружении и отождествлении в спектре анализируемого вещества спектральных линий, принадлежащих искомому элементу. Обычно для этого пользуются наиболее чувствительными линиями, т. е. линиями, наблюдаемыми в спектре при минимальной концентрации определяемого элемента. Во избежание ошибок при качеств. анализе необходимо устанавливать наличие элемента в образце по неск. линиям; для этих целей существуют многочисленные таблицы и атласы спектральных линий элементов. Количественный С. а. основан на связи между интенсивностью спектральной линии и концентрацией. Метод заключается в сравнении интенсивностей т. н. аналитич. пары линий — спектральной линии определяемого элемента и линии основного элемента пробы (или линии специально вводимого элемента — «внутреннего стандарта»).

Процедура С. а. состоит из след. операций: 1. Отбор и подготовка пробы к анализу. Решающим обстоятельством, обеспечивающим надежность анализа, особенно при определении малых примесей, является правильный отбор т. н. средней пробы, соответствующей по составу анализируемому веществу. 2. Возбуждение спектра пробы при сжигании в к.-л. источнике света (газовом пламени, электрич. дуге или искре, газоразрядной трубке и т. п.). 3. Регистрация спектра с помощью спектрального прибора. 4. Измерение интенсивности I аналитич. линий и определение количеств. содержания определяемых элементов в образце. Количеств. оценка производится с помощью эмпирич. соотношения Ломакина — Шейбе: $I = aC^b$,

где a и b — постоянные, зависящие от свойств спектральной линии и источника света, а C — концентрация определяемого элемента в пробе. Очевидно, что для установления этой

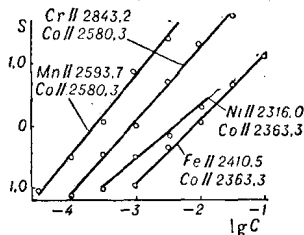


Рис. 1. Градуировочные графики для определения Mn, Cr, Ni и Fe в цирконии. S — почернение. Обозначения Cr II 2843,2, Co II 2580,3 и т. д. показывают, для какой спектральной линии дважды ионизованного Cr, Co и др. построен градуировочный график (длины волн даны в Å).

опытной зависимости необходимы пробы с заранее известным составом — эталоны. С помощью эталонов строится кривая зависимости интенсивности линий от

концентрации — т. н. градуировочный график (рис. 1), к-рым пользуются при анализе однотипных проб.

В качестве источников света в атомном С. а. пользуются пламенем газовых горелок (см. *Фотометрия пламенного*), электрич. дугой постоянного и переменного тока, конденсированной искрой, разрядом в польном катоде и газоразрядными трубками.

Простейший маркировочный анализ металлов проводят визуально с помощью стилоскопов. Определение примесей и компонентов в сплавах и металлах проводят на спектрофотографах и фотоэлектрич. спектрометрах — квантметрах, с помощью к-рых сложный анализ может быть проведен за 1—3 мин. с точностью в 1—2%. Один квантметр может обслужить большой металлургич. завод.

Наряду с определением среднего состава проб часто возникает необходимость в анализе включений в металлах, поверхностных защитных пленок, неоднородного распределения примесей в материалах. В этих целях разработаны приемы локального С. а., в к-рых используются спец. схемы искрового и импульсного дугового разряда, позволяющие исследовать весьма малые участки пробы. Перспективным в этом виде С. а. представляется применение оптич. генераторов (лазеров) для локального испарения пробы на очень малых ее участках. Специфич. область С. а. — анализ газовых смесей. Источником света для газового анализа служат разрядные трубы, заполненные анализируемым газом. Для возбуждения спектра пользуются безэлектродным высокочастотным разрядом или сверхвысокочастотным разрядом (в сантиметровом диапазоне радиоволн).

Важная задача анализа чистых металлов и полупроводниковых материалов решается комбинированием методов С. а. с приемами предварительного обогащения и концентрирования определяемых примесей. Этим достигается двоякая цель: повышение чувствительности анализа и усреднение состава пробы чистого материала, распределение примесей в к-ром может быть весьма неравномерным. Относит. чувствительность таких химико-спектральных методов составляет 10^{-5} — $10^{-7}\%$ при средней квадратичной погрешности определений ок. 10—20%.

В аборционном атомном С. а. (схема установки на рис. 2) источником света обычно служит разрядная трубка с полым катодом из материала, включающего определяемый элемент. Свет от трубы, дающей яркие и узкие спектральные

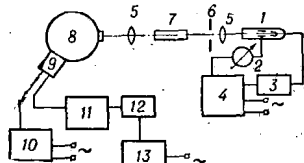


Рис. 2. Схема установки для атомного аборционного анализа: 1 — разрядная трубка с полым катодом; 2 — миллиамперметр; 3 — модулятор; 4 — стабилизированный выпрямитель; 5 — линза; 6 — диафрагма; 7 — устройство для атомизации пробы; 8 — монохроматор; 9 — фотоумножитель; 10 — блок питания ФЭУ; 11 — узкополосный усилитель; 12 — детектор; 13 — регистрирующий прибор.

линий, проходит через пламя горелки, в к-ре поступает анализируемое вещество (в виде аэрозолей). Иногда горелка заменяется вакуумной (или работающей в атмосфере аргона) графитовой печью, в к-ую вводится пробы. Свет, прошедший через аборционную кювету, регистрируется с помощью фотоэлектрич. спектрометра. Оптич. плотность $D = \lg(I_0/I) = kCd$ (где k — коэффициент поглощения, C — концентрация определяемого элемента, d — толщина слоя) служит мерой концентрации искомого элемента. Абс. чувствительность атомного аборционного анализа весьма высока и составляет в благоприятных случаях 10^{-10} — 10^{-11} g . Для анализа требуется неск. мг вещества.